

# Estructuras algebraicas en Computación Cuántica:

estudio de algoritmos clásicos de simulación  
de circuitos cuánticos de Clifford

José Alberto Azorín Puche



21 de julio de 2021

## 1 Introducción

- Computación Cuántica y simulación
- Qubits y puertas cuánticas

## 2 El formalismo estabilizador

- El grupo estabilizador
- Puertas de Clifford
- La matriz estabilizadora

## 3 Algoritmo de Gottesman-Knill

- Puertas cuánticas en el algoritmo
- Medida de un qubit

## 4 Algoritmo de Aaronson-Gottesman

- Planteamiento del algoritmo
- Eficiencia del algoritmo

## 5 Conclusions

## 1 Introducción

- Computación Cuántica y simulación
- Qubits y puertas cuánticas

## 2 El formalismo estabilizador

- El grupo estabilizador
- Puertas de Clifford
- La matriz estabilizadora

## 3 Algoritmo de Gottesman-Knill

- Puertas cuánticas en el algoritmo
- Medida de un qubit

## 4 Algoritmo de Aaronson-Gottesman

- Planteamiento del algoritmo
- Eficiencia del algoritmo

## 5 Conclusions

# Computación... ¿cuántica?

## Computación Cuántica e Información Cuántica:<sup>1</sup>

estudio de tareas de procesamiento de la información mediante el uso de sistemas cuánticos (átomos, moléculas, etc.).

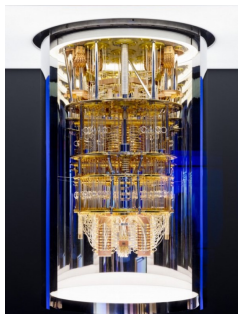


Figura: IBM Q

---

<sup>1</sup>N. Nielsen, I.L. Chuang, *Quantum Computation and Quantum Information*, Cambridge U. P. , 2010

# Simulación clásica

## Aplicaciones:

- Depuración de ordenadores cuánticos.
- Simulación clásica de sistemas cuánticos.
- Construcción de potentes ordenadores híbridos.
- Importancia de recursos cuánticos en computación cuántica.

## Teorema de Gottesman-Knill

Sea un circuito cuántico constituido únicamente por puertas de Clifford y medidas dentro del grupo de Pauli, siendo la preparación uno de los estados básicos del sistema. Dicho circuito puede simularse de forma eficiente en un ordenador clásico.

# El qubit: la unidad básica de información

$$\begin{array}{ccc}
 \text{Bit clásico} & & \text{Bit cuántico (qubit)} \\
 b \in \{0, 1\} \cong \mathbb{Z}_2 & \implies & |\psi\rangle = \alpha_0 |0\rangle + \alpha_1 |1\rangle \in \mathbb{C}^2
 \end{array}$$

■ Sistema de  $n$  qubits:

$$\mathcal{H}^{(n)} = \bigotimes_{i=1}^n \mathcal{H}^{(1)} = (\mathbb{C}^2)^{\otimes n} \quad \Rightarrow \quad \mathcal{H}^{(n)} = \mathbb{C}^{2^n}$$

$$\mathcal{B}_n = \left\{ \bigotimes_{i=1}^n q_i \mid q_i \in \mathcal{B}_1 \right\} \equiv \{ |x_1 \dots x_n\rangle \mid x_i = 0, 1 \}$$

$$\Downarrow$$

$$\begin{aligned}
 |\psi\rangle = & \alpha_0 |0 \dots 000\rangle + \alpha_1 |0 \dots 001\rangle + \alpha_2 |0 \dots 010\rangle \\
 & + \dots + \alpha_{2^n-2} |1 \dots 110\rangle + \alpha_{2^n-1} |1 \dots 111\rangle
 \end{aligned}$$

# Puertas cuánticas sobre un qubit

Matrices unitarias de dimensión 2.  
¡Son operaciones reversibles!

## ■ Puerta de fase

$$P = \begin{pmatrix} 1 & 0 \\ 0 & i \end{pmatrix} \quad \text{---} \boxed{P} \text{---}$$

## ■ Puerta Hadamard

$$H = \frac{1}{\sqrt{2}} \begin{pmatrix} 1 & 1 \\ 1 & -1 \end{pmatrix} \quad \text{---} \boxed{H} \text{---}$$

$$H|0\rangle = |+\rangle \quad H|+\rangle = |0\rangle$$

$$H|1\rangle = |-\rangle \quad H|-\rangle = |1\rangle$$

## Matrices de Pauli

$$X \equiv \sigma_x = \begin{pmatrix} 0 & 1 \\ 1 & 0 \end{pmatrix}$$

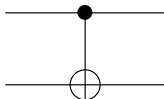
$$Y \equiv \sigma_y = \begin{pmatrix} 0 & -i \\ i & 0 \end{pmatrix}$$

$$Z \equiv \sigma_z = \begin{pmatrix} 1 & 0 \\ 0 & -1 \end{pmatrix}$$



# Más puertas cuánticas

## ■ Puerta cNOT (*controlled-X*):



a	b	cNOT $ ab\rangle =  a\ b \oplus a\rangle$
0	0	$ 00\rangle$
0	1	$ 01\rangle$
1	0	$ 11\rangle$
1	1	$ 10\rangle$

## ■ “Puerta” de medida:

$$Z = (+1) |0\rangle\langle 0| + (-1) |1\rangle\langle 1|$$





## 1 Introducción

- Computación Cuántica y simulación
- Qubits y puertas cuánticas

## 2 El formalismo estabilizador

- El grupo estabilizador
- Puertas de Clifford
- La matriz estabilizadora

## 3 Algoritmo de Gottesman-Knill

- Puertas cuánticas en el algoritmo
- Medida de un qubit

## 4 Algoritmo de Aaronson-Gottesman

- Planteamiento del algoritmo
- Eficiencia del algoritmo

## 5 Conclusions

# El grupo estabilizador

Dados  $G$  grupo y  $X$  conjunto, llamamos **estabilizador** de  $x \in X$  en  $G$  a  
$$\text{Stab}(x) = \{g \in G \mid ac(g, x) = x\}.$$

## Grupo de Pauli

$$\mathcal{P}_n := \left\{ u \cdot \bigotimes_{i=1}^n P_i \mid u \in \{\pm 1, \pm i\}, P_i \in \{I, X, Y, Z\} \forall i \in \{1, \dots, n\} \right\}$$

## Grupo estabilizador de un estado $|\psi\rangle$

$$\mathcal{S}(|\psi\rangle) = \{T \in \mathcal{P}_n \mid T|\psi\rangle = |\psi\rangle\} \equiv \mathcal{S}$$

$2^n$  elementos  $\Rightarrow n$  generadores

## Código estabilizador asociado a un grupo $G$

$$\mathcal{V} := \{|\psi\rangle : \sigma|\psi\rangle = |\psi\rangle \forall \sigma \in G\}$$

# Aplicación de puertas cuánticas

$$U|\psi\rangle = UT|\psi\rangle = UTU^\dagger U|\psi\rangle, \forall T \in \mathcal{S}$$

Puerta	Entrada	Salida
$X$	$X$	$X$
	$Y$	$-Y$
	$Z$	$-Z$
$Y$	$X$	$-X$
	$Y$	$Y$
	$Z$	$-Z$
$Z$	$X$	$-X$
	$Y$	$-Y$
	$Z$	$Z$
$H$	$X$	$Z$
	$Y$	$-Y$
	$Z$	$X$

Puerta	Entrada	Salida
$P$	$X$	$Y$
	$Y$	$-X$
	$Z$	$Z$
cNOT	$X_1$	$X_1 X_2$
	$X_2$	$X_2$
	$X_1 X_2$	$X_1$
	$Y_1$	$Y_1 X_2$
	$Y_2$	$Z_1 Y_2$
	$Y_1 Y_2$	$-X_1 Z_2$
	$Z_1$	$Z_1$
	$Z_2$	$Z_1 Z_2$
	$Z_1 Z_2$	$Z_2$

# Puertas de Clifford

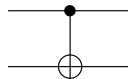
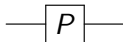
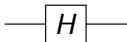
$$\mathcal{S}(|\psi\rangle) = \mathcal{S} \implies U|\psi\rangle = UT|\psi\rangle = UTU^\dagger U|\psi\rangle, \forall T \in \mathcal{S}.$$

- Dados  $G$  grupo y  $A$  conjunto, se define el **normalizador de  $A$  en  $G$**  como

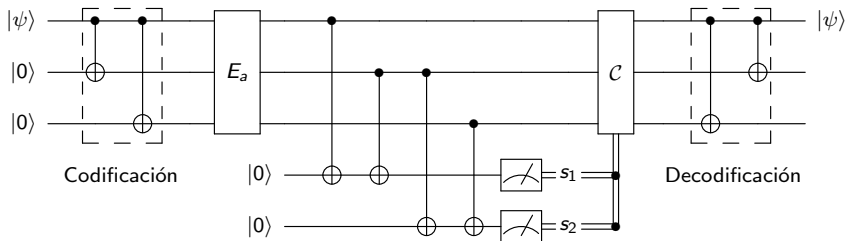
$$N_G(A) = \{g \in G \mid gAg^{-1} = A\}.$$

## Grupo de Clifford

$$N_{\mathcal{U}_n}(\mathcal{P}_n) = \{U \in \mathcal{U}_n \mid UTU^{-1} \in \mathcal{P}_n, \forall T \in \mathcal{P}_n\}$$

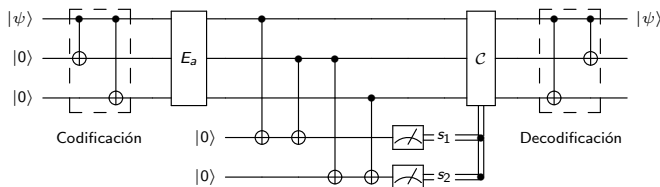


# QEC. Código de inversión del qubit



**Figura:** Circuito de corrección del error “invertir un qubit”.

# QEC. Código de inversión del qubit



## Codificación

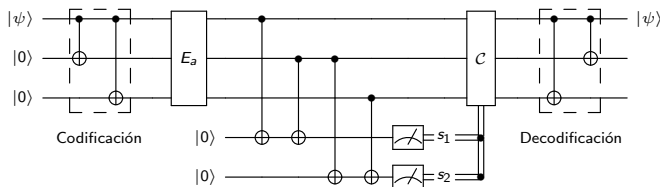
$$|\psi\rangle = \alpha|0\rangle + \beta|1\rangle$$

$$|\psi\rangle_c = \alpha|000\rangle + \beta|111\rangle$$

$$\mathcal{S} = \langle Z_1 Z_2, Z_2 Z_3 \rangle$$

	+1	$Z_1 Z_2$	-1	
	<div style="border: 1px solid black; padding: 5px; display: inline-block;"> <math>\begin{array}{cc}  000\rangle &amp;  100\rangle \\  111\rangle &amp;  011\rangle \end{array}</math> </div>			+1
	<div style="border: 1px solid black; padding: 5px; display: inline-block;"> <math>\begin{array}{cc}  001\rangle &amp;  010\rangle \\  110\rangle &amp;  101\rangle \end{array}</math> </div>			-1
				$Z_2 Z_3$

# QEC. Código de inversión del qubit

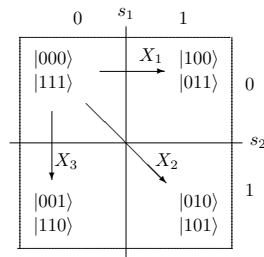


## Codificación

$$|\psi\rangle = \alpha |0\rangle + \beta |1\rangle$$

$$|\psi\rangle_c = \alpha |000\rangle + \beta |111\rangle$$

$$\mathcal{S} = \langle Z_1 Z_2, Z_2 Z_3 \rangle$$



# La matriz estabilizadora

- Las matrices de Pauli conmutan/anticonmutan

$$X^2 = +I$$

$$Y^2 = +I$$

$$Z^2 = +I$$

$$XY = +iZ$$

$$YZ = +iX$$

$$ZX = +iY$$

$$YX = -iZ$$

$$ZY = -iX$$

$$XZ = -iY$$

- Etiquetas:** vectores  $(x_a, z_a) \in \mathbb{Z}_2^{2n}$  tales que

$$T_a = i^{-x_a \cdot z_a} (X_1^{x_{a1}} \otimes \dots \otimes X_n^{x_{an}}) (Z_1^{z_{a1}} \otimes \dots \otimes Z_n^{z_{an}}), \quad x_a, z_a \in \mathbb{Z}_2^n$$

$$\begin{array}{l} T_1 \rightarrow \\ \vdots \\ T_n \rightarrow \end{array} \left( \begin{array}{ccc|ccc} x_{11} & \dots & x_{1n} & z_{11} & \dots & z_{1n} \\ \vdots & \ddots & \vdots & \vdots & \ddots & \vdots \\ x_{n1} & \dots & x_{nn} & z_{n1} & \dots & z_{nn} \end{array} \right)$$



## 1 Introducción

- Computación Cuántica y simulación
- Qubits y puertas cuánticas

## 2 El formalismo estabilizador

- El grupo estabilizador
- Puertas de Clifford
- La matriz estabilizadora

## 3 Algoritmo de Gottesman-Knill

- Puertas cuánticas en el algoritmo
- Medida de un qubit

## 4 Algoritmo de Aaronson-Gottesman

- Planteamiento del algoritmo
- Eficiencia del algoritmo

## 5 Conclusions

# Puertas cuánticas en el algoritmo

$$U|\psi\rangle = UT|\psi\rangle = UTU^\dagger U|\psi\rangle, \forall T \in \mathcal{S}$$

Puerta	Entrada	Salida
$H$	$X$	$Z$
	$Z$	$X$
$P$	$X$	$Y$
	$Z$	$Z$
cNOT	$X_1$	$X_1X_2$
	$X_2$	$X_2$
	$X_1X_2$	$X_1$
	$Z_1$	$Z_1$
	$Z_2$	$Z_1Z_2$
	$Z_1Z_2$	$Z_2$

# La medida en el formalismo estabilizador

Sea  $G$  un grupo y  $A \subset G$ . Definimos el **centralizador** de  $A$  en  $G$  como

$$\mathcal{C}_G(A) = \{g \in G \mid g * a = a * g \ \forall a \in A\}.$$


---

$$Z = (+1)|0\rangle\langle 0| + (-1)|1\rangle\langle 1| \qquad \mathcal{S} = \langle T_1, \dots, T_n \rangle$$

- **Caso I:**  $Z_a$  anticonmuta con, al menos, un generador de  $\mathcal{S}$ .

$$|\psi'\rangle = \frac{I \pm Z_a}{\sqrt{2}} |\psi\rangle \quad \text{y} \quad \mathcal{S}' = \langle \pm Z_a, \mathcal{C}_{\mathcal{S}}(Z_a) \rangle.$$

- **Caso II:**  $Z_a$  conmuta con todos los generadores de  $\mathcal{S}$ .

$$|\psi'\rangle = |\psi\rangle \quad \text{y} \quad \mathcal{S}' = \mathcal{C}_{\mathcal{S}}(Z_a) = \mathcal{S}.$$

# Eficiencia del algoritmo

**Problema a resolver:** pertenencia a un grupo.

- Caso I:  $O(n^2)$ .  
Productos de operadores que anticonmutan con  $Z_a$ .
- Caso II:  $O(n^3)$ .  
Resolución de sistema de ecuaciones.

$$\pm Z_a = T_1^{c_1} \cdot \dots \cdot T_n^{c_n}, \quad (c_1, \dots, c_n) \in \mathbb{Z}_2^n$$

## 1 Introducción

- Computación Cuántica y simulación
- Qubits y puertas cuánticas

## 2 El formalismo estabilizador

- El grupo estabilizador
- Puertas de Clifford
- La matriz estabilizadora

## 3 Algoritmo de Gottesman-Knill

- Puertas cuánticas en el algoritmo
- Medida de un qubit

## 4 Algoritmo de Aaronson-Gottesman

- Planteamiento del algoritmo
- Eficiencia del algoritmo

## 5 Conclusions

# Nueva matriz estabilizadora

$$\begin{array}{lcl}
 R_1 & \rightarrow & \left( \begin{array}{ccc|ccc|c}
 x_{11} & \dots & x_{1n} & z_{11} & \dots & z_{1n} & r_1 \\
 \vdots & & \ddots & \vdots & & \vdots & \vdots \\
 R_n & \rightarrow & \begin{array}{ccc|ccc|c}
 x_{n1} & \dots & x_{nn} & z_{n1} & \dots & z_{nn} & r_n
 \end{array} \\
 R_{n+1} & \rightarrow & \begin{array}{ccc|ccc|c}
 x_{(n+1)1} & \dots & x_{(n+1)n} & z_{(n+1)1} & \dots & z_{(n+1)n} & r_{n+1} \\
 \vdots & & \ddots & \vdots & & \vdots & \vdots \\
 R_{2n} & \rightarrow & \begin{array}{ccc|ccc|c}
 x_{(2n)1} & \dots & x_{(2n)n} & z_{(2n)1} & \dots & z_{(2n)n} & r_{2n}
 \end{array}
 \end{array} \right)
 \end{array}$$

- Se define una subrutina **rowsum(h,i)** que suma las filas  $R_h$  y  $R_i$ : ejecuta la composición de los generadores correspondientes.

# Ideas del algoritmo

- Aplicación de puertas cuánticas:  
Fórmulas explícitas para actualizar la matriz estabilizadora.
- Medida de un qubit:

$$(R_h | R_i) = z_h \cdot x_i - z_i \cdot x_h \pmod{2} = \bigoplus_{j=1}^n (x_{ij} z_{hj} \oplus x_{hj} z_{ij})$$

- **Caso I:**  $\exists p \in \{n+1, \dots, 2n\}$  tal que  $x_{pa} = 1$ .
- **Caso II:** No existe tal  $p \Rightarrow \sum_{h=1}^n c_h R_{h+n} = \pm Z_a$ .

# Eficiencia del algoritmo

Producto simpléctico  $\Rightarrow$  resolución de sistemas de ecuaciones.

$\uparrow$  rowsum  $\Rightarrow \uparrow$  coste

Complejidad:  $O(n^2)$

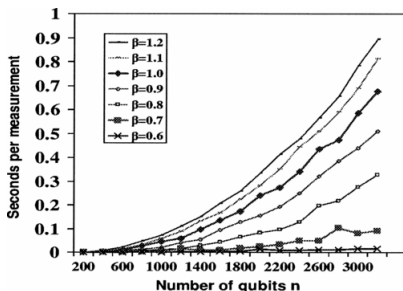


Figura: Experimento test del algoritmo de Aaronson-Gottesman<sup>2</sup>.

<sup>2</sup>S. Aaronson, D. Gottesman, *Improved Simulation of Stabilizer Circuits*, Phys. Rev. A 70, 052328 (2004).



## 1 Introducción

- Computación Cuántica y simulación
- Qubits y puertas cuánticas

## 2 El formalismo estabilizador

- El grupo estabilizador
- Puertas de Clifford
- La matriz estabilizadora

## 3 Algoritmo de Gottesman-Knill

- Puertas cuánticas en el algoritmo
- Medida de un qubit

## 4 Algoritmo de Aaronson-Gottesman

- Planteamiento del algoritmo
- Eficiencia del algoritmo

## 5 Conclusions

# Conclusions

- Quantum Computation needs classical simulations.
- Clifford circuits are essential for classical simulations.
- Gottesman-Knill theorem  $\implies$  they are efficiently simulable.
- Mathematical tools: theory group, symplectic product.
- Gottesman-Knill algorithm  $\implies O(n^3)$ .
- Aaronson-Gottesman algorithm  $\implies O(n^2)$ .

Thank you for your attention!

# Puertas cuánticas en el algoritmo de Aaronson-Gottesman

Para cada fila  $i \in \{1, \dots, 2n\}$ :

■ **Hadamard sobre el qubit  $a$ :**

$$r_i := r_i \oplus x_{ia} z_{ia}.$$

Intercambiamos  $x_{ia}$  y  $z_{ia}$ .

■ **Puerta de fase sobre  $a$ :**

$$r_i := r_i \oplus x_{ia} z_{ia}.$$

$$z_{ia} := z_{ia} \oplus x_{ia}.$$

■ **cNOT  $a \rightarrow b$ :**

$$r_i := r_i \oplus x_{ia} z_{ib} (x_{ib} \oplus z_{ia} \oplus 1).$$

$$x_{ib} := x_{ib} \oplus x_{ia}, \quad z_{ia} := z_{ia} \oplus z_{ib}.$$

Puerta	Entrada	Salida
$H$	$X$	$Z$
	$Z$	$X$
$P$	$X$	$Y$
	$Z$	$Z$
cNOT	$X_1$	$X_1 X_2$
	$X_2$	$X_2$
	$X_1 X_2$	$X_1$
	$Z_1$	$Z_1$
	$Z_2$	$Z_1 Z_2$
	$Z_1 Z_2$	$Z_2$

# La medida en el algoritmo de Aaronson-Gottesman

$$(R_h|R_i) = z_h \cdot x_i - z_i \cdot x_h \pmod{2} = \bigoplus_{j=1}^n (x_{ij}z_{hj} \oplus x_{hj}z_{ij})$$

- **Caso I:**  $\exists p \in \{n+1, \dots, 2n\}$  tal que  $x_{pa} = 1$ .

- $\text{rowsum}(i, p)$  para todo  $i \neq p$  tal que  $x_{ia} = 1$ .
- $R_p \rightarrow R_{p-n}$  y  $Z_a \rightarrow R_p$  (fase  $r_p$  aleatoria).

- **Caso II:** No existe tal  $p \Rightarrow \sum_{h=1}^n c_h R_{h+n} = \pm Z_a$ .

$$c_i = \sum_{h=1}^n c_h (R_i|R_{h+n}) = \left( R_i \left| \sum_{h=1}^n c_h R_{h+n} \right. \right) = (R_i|Z_a) \quad i \in \{1, \dots, n\}$$

- $\text{rowsum}(2n+1, i+n)$  para todo  $i \in \{1, \dots, n\}$  tal que  $x_{ia} = 1$ .

# Teleportación Cuántica

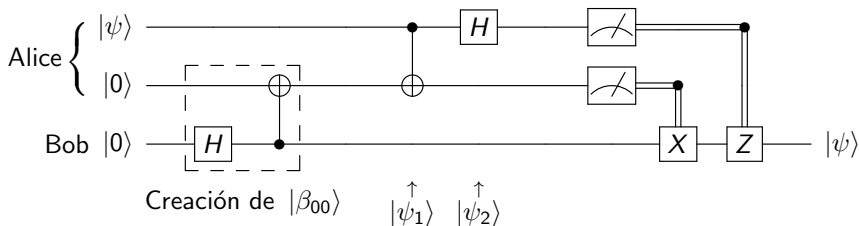


Figura: Circuito para teleportar el estado  $|\psi\rangle$ .

$$|\psi_0\rangle = |\psi\rangle |\beta_{00}\rangle = \left[ a |0\rangle \frac{|00\rangle + |11\rangle}{\sqrt{2}} + b |1\rangle \frac{|00\rangle + |11\rangle}{\sqrt{2}} \right]$$

# Teleportación Cuántica

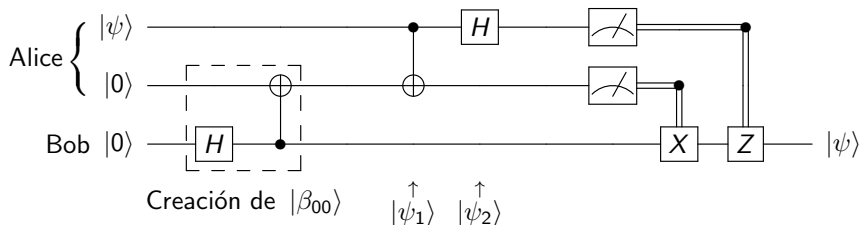


Figura: Circuito para teleportar el estado  $|\psi\rangle$ .

$$|\psi_2\rangle = \frac{1}{2} [ |00\rangle (a|0\rangle + b|1\rangle) + |01\rangle (a|1\rangle + b|0\rangle) \\ + |10\rangle (a|0\rangle - b|1\rangle) + |11\rangle (a|1\rangle - b|0\rangle) ].$$